

## بهینه سازی خشک کردن اسمز-هوای داغ گلابی با استفاده از روش سطح-پاسخ

مجتبی امیری پور<sup>۱\*</sup>، محمد باقر حبیبی نجفی<sup>۲</sup>، محبت محبی<sup>۲</sup>، باقر عمادی<sup>۳</sup>

۱- دانش آموخته کارشناسی ارشد علوم و صنایع غذایی، گروه علوم و صنایع غذایی، دانشگاه فردوسی مشهد

۲- استاد، گروه علوم و صنایع غذایی، دانشگاه فردوسی مشهد

۳- دانشیار، گروه مهندسی بیوپریستم، دانشگاه فردوسی مشهد

(تاریخ دریافت: ۹۳/۳/۳۱ تاریخ پذیرش: ۹۳/۸/۲۴)

### چکیده

در این تحقیق روش سطح پاسخ برای بهینه سازی شرایط خشک کردن برش های گلابی توسط اسماز-هوای داغ مورد استفاده قرار گرفت. اثر دمای خشک کردن (۵۰-۷۰ درجه سانتی گراد) و زمان خشک کردن (۲۴۰-۳۶۰ دقیقه) به عنوان متغیرهای مستقل بر میزان رطوبت، درصد چروکیدگی و نسبت آبگیری مجدد برش های گلابی به عنوان متغیرهای وابسته (پاسخ) مورد ارزیابی قرار گرفت. مدل های رگرسیونی به دست آمده برای تمام پاسخ ها از نظر آماری در سطح ۹۹٪ اطمینان معنی دار بودند. تمام متغیرهای فرایند به صورت خطی برای تمام پاسخ ها معنی دار بودند ( $p < 0.01$ ). همچنین عبارت درجه دوم دمای خشک کردن در مورد نسبت آبگیری مجدد معنی دار بود. شرایط بهینه به دست آمده برای حداقل میزان رطوبت و درصد چروکیدگی و حداکثر نسبت آبگیری مجدد عبارت بود از: دمای ۳۹/۶۰ درجه سانتی گراد و زمان خشک کردن ۳۶۰ دقیقه. در شرایط بهینه به دست آمده میزان رطوبت ۱۷/۲۶٪، نسبت آبگیری مجدد ۳۱/۶۲ و درصد چروکیدگی ۳۱/۷۷٪ بود.

**کلید واژگان:** برش های گلابی، بهینه سازی، خشک کردن اسماز-هوای داغ، روش سطح پاسخ.

\* مسئول مکاتبات: mo.am62@gmail.com

مستقل گوناگون با حداقل زمان آزمایش، اندازه گیری بیشترین فاکتورهای مرتبط و دامنه اثر آنها و همچنین اثرات متقابل فاکتورهای مستقل مورد استفاده قرار گیرد[۷]. تا کنون مطالعات زیادی در زمینه بهینه سازی شرایط فرایندهای مختلف خشک کردن میوه ها با استفاده از روش سطح-پاسخ انجام شده است. در پژوهشی آذربیجان و راماسوامی بهینه سازی خشک کردن دو مرحله‌ای مایکروویو- اسمز و هوای داغ سیب مورد مطالعه قرار دادند. در پژوهشی دیگر نوشاد و همکاران [۷] به بررسی بهینه سازی شرایط خشک کردن هوای داغ میوه به با استفاده از پیش تیمار اسمز-التراسوند پرداختند. تاکنون هیچ پژوهشی در زمینه بهینه سازی خشک کردن ترکیبی اسمز-هوای داغ میوه گلابی با استفاده از روش سطح-پاسخ انجام نشده است. در این تحقیق روش سطح-پاسخ برای بهینه سازی شرایط خشک کردن اسمز-هوای داغ گلابی مورد استفاده قرار گرفت.

## ۲- مواد و روش ها

### ۱-۱- آماده سازی نمونه ها و آبگیری اسمزی

گلابی مورد نیاز در این تحقیق از بازار محلی مشهد تهیه گردید. میانگین رطوبت اولیه گلابی های مورد استفاده  $85\pm1/3$ % بود. گلابی های مورد استفاده در آزمایشات پس از پوستگیری با استفاده از یک دستگاه برشزن دستی و قالب گرد استیل به برش هایی با ضخامت ۹ میلی متر و قطر ۳۵ میلی متر برش داده شدند. به منظور جلوگیری از واکنش های قهقهه ای شدن آنزیمی برش های تهیه شده به مدت ۵ دقیقه در محلول ۱٪ اسید آسکوربیک و ۰/۲٪ اسید سیتریک قرار داده می شدند[۸]. بهینه سازی شرایط پیش تیمار اسمزی گلابی در تحقیق اولیه مورد بررسی قرار گرفت و اسمز بر اساس شرایط بهینه به دست آمده، انجام گرفت. محلول های اسمزی ساکارز با غلظت ۵۰٪ تهیه شدند. برش های گلابی در محلول اسمزی درون بشرهای ۱ لیتری غوطه ور شده و به مدت ۱۱۴ دقیقه آبگیری اسمزی انجام شد. با استفاده از یک همزن مغناطیسی دمای محلول اسمزی طی آبگیری در ۵۵ درجه سانتی گراد و دور همزدن ۳۰۰ دور در دقیقه حفظ

### ۱- مقدمه

گلابی میوه ای از جنس *pyrus* و متعلق به خانواده *Rosaceae* است. گلابی معمولی یا گلابی اروپایی از گونه کامونیس<sup>۱</sup> می باشد که میوه های آبدار با دانه های سنگی و اغلب شکل کشیده دارد، در مناطق معتدل کاشت می شود و منشأ آن به نواحی آسیایی برمی گردد[۱]. گلابی منبع تغذیه ای خوبی از نظر فیبر، ویتامین C، مس و ویتامین K می باشد. طبق آمار فائق، در سال ۲۰۱۲ کشور ایران با تولید سالانه ۱۴۷۰۰۰ تن انواع گلابی در رتبه هجدهم تولیدکنندگان این میوه قرار دارد[۲]. روش های فراوری گلابی بیشتر شامل تهیه کمپوت، به صورت پوره در تولید آب میوه و ماست های میوه ای و خشک کردن می باشد. گلابی خشک شده همی تواند به صورت های مختلفی از جمله در فراورده های نانوایی، انواع غذاهای محلی و مصرف به صورت خشکبار مورد استفاده قرار گیرد[۱]. خشک کردن فرایندی شناخته شده است که به میزان زیادی برای نگهداری میوه ها به کار برده می شود. بعضی از دلایل محبوبیت میوه های خشک شده عبارتند از تنوع محصولات، عمر نگهداری طولانی و کم شدن قابل توجه حجم که اینبارداری و حمل و نقل آنها را تسهیل می کند[۳]. میوه ها و سبزی ها عمده ابا روشن هوای داغ خشک می شوند[۴]. آبگیری اسمزی میوه ها و سبزی ها با غوطه ور کردن آنها در مایعات با فعالیت آبی پایین تر نسبت به ماده غذایی انجام می شود. با استفاده از آبگیری اسمزی به عنوان پیش تیمار می توان آب مواد غذایی را به میزان ۳۰ تا ۷۰٪ محتوى اولیه آن کاهش داد. از جمله مزایای آبگیری اسمزی می توان به کوتاه کردن زمان مرحله خشک کردن ثانویه به میزان ۶۰٪ و صرفه جویی در مصرف انرژی به میزان ۲۰٪ اشاره کرد[۵]. روش سطح پاسخ مجموعه ای از تکنیک های مشخص آماری برای طراحی آزمایشات، ساخت مدل ها، ارزیابی اثرات فاکتورهای مستقل و جست وجو برای تعیین شرایط بهینه رسیدن به پاسخ های مطلوب است[۱]. اصول و مبانی روش سطح پاسخ برای اولین بار توسط باکس و ویلسون(۱۹۵۱) بیان شده است[۶]. در آزمایشات چند مؤلفه ای، روش سطح پاسخ می تواند به منظور آزمون هم زمان پارامترهای

1. Communis

برای کاهش جذب مایع توسط نمونه‌ها از تولوئن به جای آب استفاده شد [۷].

$$Sh = \frac{V_0}{V_d} \times 100 \quad (2)$$

در این رابطه  $V_0$  و  $V_d$  به ترتیب حجم اولیه و حجم نهایی نمونه بودند.

### ۵-۲- اندازه گیری نسبت آبگیری مجدد

برای اندازه گیری نسبت آبگیری مجدد، نمونه‌ها پس از خارج شدن از خشککن و توزین ( $W_d$ ) در درون آب با دمای ۵۰ درجه سانتی گراد غوطه‌ور شدند. پس از ۳۰ دقیقه نمونه‌ها از درون آب خارج و سطح خارجی آن‌ها با کاغذ صافی خشک گردید و مجدداً توزین شدند ( $W_f$ ). نسبت آبگیری مجدد ( $RR$ ) با استفاده از رابطه ۳ محاسبه شد [۷].

$$RR = \frac{W_f}{W_d} \quad (3)$$

### ۶-۲- طراحی آزمایشات

روش سطح پاسخ برای پیش‌بینی تأثیر متغیرهای فرایند بر میزان رطوبت، درصد چروکیدگی و نسبت آبگیری مجدد برش‌های گلابی به کار برده شد. آزمایشات بر طبق طرح درجه دوم مرکب مرکزی مرکز پر با سه سطح برای هر متغیر انجام شد [۹]. روش سطح پاسخ با استفاده از نرم افزار Design Expert ویرایش ۶،۰،۲ اجرا گردید.

## ۳- بحث و نتایج

نتایج حاصل از طرح آزمایش مورد استفاده برای بهینه سازی خشک کردن اسمز- هوای داغ در جدول ۱ ارائه شده‌اند. برآش داده‌های به دست آمده برای میزان رطوبت، نسبت آبگیری مجدد و چروکیدگی بر اساس مدل چند جمله‌ای درجه دوم صورت گرفت. پس از برآش مدل، رابطه‌های به دست آمده در معرض الگوریتم حذف پسخور قرار گرفتند. با استفاده از الگوریتم مذکور، جملات مدل که از نظر آماری در سطح ۹۵٪ معنی دار نبودند، حذف شدند (مدل درجه دوم کاسته شده).

شده. پس از طی زمان مورد نظر نمونه‌های آبگیری شده از درون محلول اسمزی خارج گردیدند و به منظور حذف محلول اسمزی باقی‌مانده در سطح آن‌ها با آب مقطر شسته، توسط کاغذ صافی خشک و سپس وزن شدند. برشهای گلابی تهیه شده توسط ترازوی دیجیتالی (مدل AND. EK-300i) با دقت ۰/۰۱ گرم، توزین می‌شدند.

### ۲-۲- خشک کردن هوای داغ

خشک کردن هوای داغ نمونه‌ها توسط خشک کن کابیتی ساخت شرکت طب سروش انجام پذیرفت. ابعاد خارجی این خشک کن به ترتیب ۸۵ سانتی متر طول، ۶۵ سانتی متر عرض و ارتفاع آن ۱۲۴ سانتی متر بود. هوای داغ از قسمت مرکزی خشک کن با سرعت ۱/۵ متر بر ثانیه دمیده می‌شود و دمای خشک کن با دقت ۰/۱ درجه سانتی گراد قابل تنظیم بود. ۳۰ دقیقه قبل از شروع آزمایش به منظور رسیدن به شرایط مطلوب خشک کن روشن می‌گردید. نمونه‌ها پس از طی مرحله پیش تیمار اسمزی درون سینی خشک کن قرار داده شده و در دماهای ۵۰، ۶۰ و ۷۰ درجه سانتی گراد، به مدت ۲۴۰، ۳۰۰ و ۳۶۰ دقیقه خشک می‌شدند. پس از طی زمان لازم نمونه‌های خشک شده از درون خشک کن خارج و وزن آن‌ها توسط ترازو تعیین می‌گردید.

### ۳-۲- اندازه گیری میزان رطوبت

محتوی رطوبتی نمونه‌های خشک شده با روش AOAC ۹۳۱،۰۴ و با استفاده از رابطه ۱ اندازه گیری شد [۷].

$$X_t = \frac{M_1 - M_d}{M_d} \times 100 \quad (1)$$

که در این رابطه  $X_t$  رطوبت نمونه‌های گلابی بر پایه خشک (درصد)،  $M_1$  وزن نمونه‌ها در زمان  $t$  و  $M_d$  وزن نمونه‌های خشک شده است.

### ۴-۲- اندازه گیری درصد چروکیدگی

برای اندازه‌گیری چروکیدگی، تغییرات حجم نمونه‌ها با استفاده از روش جابجایی مایع تعیین گردید (رابطه ۲). در این پژوهش

جدول ۱ نتایج طرح آزمایش مورد استفاده در خشک کردن اسمز هوای داغ

شماره آزمون	دماخشک کردن (درجه سانتی گراد)	زمان خشک کردن (دقیقه)	میزان رطوبت (%)	آبگیری مجدد (g/g)	چروکیدگی (%)
۱	۵۰	۲۴۰	۵۳/۱۲	۱/۳۹	۶۰/۰۹
۲	۷۰	۲۴۰	۲۷/۰۵	۱/۵۲	۷۹/۹۹
۳	۵۰	۳۶۰	۳۸/۰۳	۱/۵۰	۷۱/۰۰
۴	۷۰	۳۶۰	۱۲/۱۵	۱/۷۷	۸۸/۰۱
۵	۴۵/۸۶	۳۰۰	۵۱/۲۰	۱/۴۵	۶۰/۱۱
۶	۷۴/۱۴	۳۰۰	۱۶/۵۰	۱/۷۸	۸۶/۰۵
۷	۶۰	۲۱۵/۱۵	۴۲/۰۶	۱/۳۴	۷۰/۹۹
۸	۶۰	۳۸۴/۸۵	۲۵/۴۲	۱/۶۹	۷۵/۶۴
۹	۶۰	۳۰۰	۳۲/۴۴	۱/۵۳	۶۹/۰۴
۱۰	۶۰	۳۰۰	۳۳/۴۲	۱/۵۰	۷۷/۶۲
۱۱	۶۰	۳۰۰	۲۸/۸۶	۱/۵۱	۷۶/۹۶
۱۲	۶۰	۳۰۰	۴۰/۵۳	۱/۴۹	۷۳/۱۸
۱۳	۶۰	۳۰۰	۳۲/۸۰	۱/۵۶	۷۰/۲۱

عبارت‌های معنی‌دار مدل شامل دماخشک کردن (A) و زمان خشک کردن (B) و عبارت درجه دوم دماخشک کردن ( $A^2$  و  $B^2$ ) بودند در جدول (۳). مقدار  $R^2$  و  $R^2_{adjusted}$  به ترتیب برابر ۰/۹۵۰۱ و ۰/۹۳۳۵ بودند که بالا بودن آن‌ها تأیید‌کننده قدرت بالای مدل می‌باشد.

همان‌طور که در جدول ۴ مشاهده می‌شود، مدل ارائه شده برای میزان چروکیدگی معنی‌دار می‌باشد ( $p < 0.001$ ) و آزمون ضعف برازش آن معنی‌دار نیست ( $p > 0.05$ ) که نشان مده مدل کاسته شده، مدلی مناسب می‌باشد. عباراتی از مدل که معنی‌دار شده‌اند شامل دما (A) و زمان خشک کردن (B) و  $R^2$  هستند. مقادیر  $R^2$  و  $R^2_{adjusted}$  به ترتیب برابر ۰/۸۹۷۱ و ۰/۸۷۶۵ بودند که قدرت بالای مدل را تأیید می‌کنند.

### ۱-۳- تجزیه مدل برازش یافته

بر اساس نتایج به دست آمده (جدول ۲) مدل درجه دوم کاسته برای میزان رطوبت نهایی از نظر آماری معنی‌دار بوده ( $p < 0.001$ )، ولی آزمون ضعف برازش آن معنی‌دار نمی‌باشد ( $p > 0.05$ ) که نشان دهنده مناسب بودن مدل پس از کاهش دادن تعداد جملات غیر معنی‌دار آن است. عبارات‌های معنی‌دار مدل شامل دما (A) و زمان خشک کردن (B) بودند. مقادیر بالای  $R^2$  و  $R^2_{adjusted}$  بیانگر قدرت بالای مدل در پیش‌بینی فرایند می‌باشد.

مدل ارائه شده برای نسبت آبگیری مجدد دارای F معنی‌دار بود ( $p < 0.001$ ) و از طرفی آزمون ضعف برازش آن معنی‌دار نشد ( $p > 0.05$ ) که با توجه به این نتایج چنین برداشت می‌شود که مدل کاسته شده مدلی مناسب می‌باشد.

جدول ۲ تجزیه واریانس (ANOVA) و ضرایب مدل پیشگویی کننده مربوط به میزان رطوبت

منبع	ضرایب	مجموع مربعات	درجه آزادی	میانگین مربعات	F احتمال
مدل	۳۳/۳۵	۱۶۳۳/۶۴	۲	۸۱۶/۸۲	<۰/۰۰۰۱**
A	-۱۲/۶۳	۱۲۷۰/۵۴	۱	۱۲۷۰/۵۴	<۰/۰۰۰۱**
B	-۶/۶۹	۳۵۸/۱۰	۱	۳۵۸/۱۰	<۰/۰۰۰۱**
باقي مانده	۸۲/۲۴	۸/۲۲	۱۰		
ضعف برازش	۹/۷۳	۱/۶۲	۶		
خطا	۷۲/۵۱	۱۸/۱۳	۴		
R <sup>2</sup>	۰/۹۰۲۱				
Adj-R <sup>2</sup>	۰/۹۴۲۵				
ضریب تغییرات	۸/۶۰				
** معنی دار در سطح ۹۹%					

جدول ۳ تجزیه واریانس (ANOVA) و ضرایب مدل پیشگویی کننده مربوط به نسبت آبگیری مجدد

منبع	ضرایب	مجموع مربعات	درجه آزادی	میانگین مربعات	F احتمال
مدل	۱/۵۱	۰/۲۰	۳	۰/۰۶۶	<۰/۰۰۰۱**
A	۰/۱۱	۰/۰۹۴	۱		<۰/۰۰۰۱**
B	۰/۱۱	۰/۰۹۰	۱		<۰/۰۰۰۱**
A <sup>2</sup>	۰/۰۴۶	۰/۰۱۵	۱	۰/۰۱۵	۰/۰۰۶۰**
باقي مانده	۰/۰۱۰	۱/۱۶۲×۱۰ <sup>-۳</sup>	۹		
ضعف برازش	۷/۹۲۱×۱۰ <sup>-۳</sup>	۱/۵۸۴×۱۰ <sup>-۳</sup>	۵		ns/۰/۱۹۷۶
خطا	۲/۵۳۳×۱۰ <sup>-۳</sup>	۶/۳۳۴×۱۰ <sup>-۳</sup>	۴		
R <sup>2</sup>	۰/۹۵۰۱				
Adj-R <sup>2</sup>	۰/۹۳۳۵				
ضریب تغییرات	۲/۲۱				
** معنی دار در سطح ۹۹%					

جدول ۴ تجزیه واریانس (ANOVA) و ضرایب مدل پیشگویی کننده مربوط به درصد چروکیدگی

منبع	ضرایب	مجموع مربعات	درجه آزادی	میانگین مربعات	F احتمال
مدل	۷۳/۷۶	۷۵۸/۳۲	۲	۳۷۹/۱۶	<۰/۰۰۰۱**
A	۹/۲۰	۶۷۷/۰۲	۱	۶۷۷/۰۲	<۰/۰۰۰۱**
B	۳/۱۹	۸۱/۲۹	۱	۹/۳۵	۰/۰۱۲۱*
باقي مانده	۸۶/۹۶	۸/۵۴	۱۰		
ضعف برازش	۲۷/۲۴	۴/۵۴	۶		
خطا	۵۹/۷۲	۱۴/۹۳	۴		
R <sup>2</sup>	۰/۸۹۷۱				
Adj-R <sup>2</sup>	۰/۸۷۶۵				
ضریب تغییرات	۴/۰۰				
** معنی دار در سطح ۹۹%					
* معنی دار در سطح ۹۵%					

کردن تأثیر می‌پذیرد. با افزایش دما و زمان خشک کردن نسبت آبگیری مجدد افزایش می‌یابد که این نحوه اثرگذاری مثبت با توجه به ضرایب مدل نمودار رویه (شکل ۲) مورد تأیید و واضح است. همچنین با در نظر گرفتن معنی دار بودن عبارت درجه دوم دمای خشک کردن وجود انتهاء در شکل رویه دما مشاهده می‌شود. Vega و همکاران [۱۲] افزایش نسبت آبگیری مجدد با افزایش دمای خشک کردن را به فروپاشی بافت و ایجاد سلول‌های آسیب دیده در دمای بالاتر نسبت داده و بیان کردن که افزایش نسبت آبگیری مجدد در اثر محبوس شدن آب در فضاهای به وجود آمده توسط سلول‌های آسیب دیده است.

### ۳-۲-۳- تأثیر متغیرهای مستقل بر میزان چروکیدگی

مقادیر  $p$  در جدول ۴ تأثیر معنی دار دمای خشک کردن ( $p < 0.001$ ) و زمان خشک کردن ( $p < 0.01$ ) را به صورت خطی بر میزان چروکیدگی نشان می‌دهند. در شکل ۳ می‌توان روند تأثیرگذاری دما و زمان خشک کردن را بر میزان چروکیدگی مشاهده نمود. از شکل رویه چنین به نظر می‌رسد که رابطه میزان چروکیدگی با دما و زمان خشک کردن به صورت خطی و مستقیم است که این روند توسط معنی دار بودن اثرات خطی هر دو متغیر تأیید می‌شود. گزارش شده است که چروکیدگی در محصولات خشک شده به میزان رطوبت و سرعت خشک کردن در مراحل اولیه فرایند خشک کردن بستگی دارد [۹]. بنابراین چروکیدگی بیشتر را می‌توان به سرعت خشک کردن بالاتر و محتوی رطوبت پایین‌تر برش‌های گلابی در دماهای بالاتر طی فرایند خشک کردن نسبت داد.

### ۳-۳- بهینه‌سازی

شرایط عملیاتی بهینه برای خشک کردن هوای داغ برش‌های گلابی پیش تیمار شده، با استفاده از تکنیک بهینه‌سازی عددی جستجو شد. شاخص‌ها و اهداف بهینه‌سازی برای هر یک از متغیرها و پاسخ‌های فرایند در جدول ۵ نشان شده‌اند. نتایج به دست آمده از فرایند بهینه‌سازی نیز در جدول ۶ ارائه شده‌اند.

## ۲-۳- تأثیر متغیرهای مستقل بر پاسخ‌ها

۲-۱- تأثیر متغیرهای مستقل بر میزان رطوبت نهایی مقادیر  $p$  در جدول ۲، نشان می‌دهد که متغیرهای دما و زمان خشک کردن دارای اثر خطی بر میزان رطوبت می‌باشند ( $p < 0.001$ ). همچنین ضرایب مدل تأثیر خطی دما و زمان خشک کردن بر میزان این متغیر را نشان داده است. بنابراین مشخص می‌شود که میزان رطوبت به صورت خطی از دما و زمان خشک کردن تأثیر می‌پذیرد. این روند در شکل رویه پاسخ (شکل ۱)، به خوبی مشهود است و تأییدی بر معنی بودن ضرایب خطی مدل می‌باشد. بنابراین و با توجه به منفی بودن علامت ضرایب مدل و همچنین شکل رویه‌ی پاسخ مشاهده می‌شود که ارتباط میزان رطوبت با دما و زمان خشک کردن به صورت معکوس است، بدین معنی که با افزایش دما و زمان خشک کردن، میزان رطوبت کاهش پیدا می‌کند. برخی محققان کاهش میزان رطوبت با افزایش دما و زمان خشک کردن را در بهینه‌سازی خشک کردن هوای داغ زیتون گزارش کردند [۱۰]. به طور کلی دمای بالاتر و زمان فرایند طولانی‌تر برای دست‌یابی به محتوی رطوبت کمتر ضروری است. نتایج مشابهی در بهینه‌سازی خشک کردن لایه نازک کوروپا<sup>۳</sup> گزارش شده است [۱۱]. از ضرایب مدل (جدول ۲) چنین بر می‌آید که دمای خشک کردن در مقایسه با زمان خشک کردن تأثیر بیشتری در کاهش میزان رطوبت نهایی دارد.

### ۲-۲-۳- تأثیر متغیرهای مستقل بر نسبت آبگیری مجدد

همان‌طور که از مقادیر  $p$  در جدول ۳ مشخص است، اثرات خطی دما و زمان خشک کردن بر نسبت آبگیری مجدد معنیدار هستند ( $p < 0.001$ ). علاوه بر این عبارت درجه دوم دمای خشک کردن نیز معنی دار می‌باشد ( $p < 0.01$ ). در شکل ۲، نمودار رویه بیان‌گر تأثیر دما و زمان خشک کردن بر نسبت آبگیری مجدد نشان داده شده است. با توجه به این شکل مشاهده می‌شود که نسبت آبگیری مجدد به میزان زیادی از هر دو متغیر دما و زمان خشک

## جدول ۵ شاخص‌ها و اهداف بهینه‌سازی خشک کردن اسمز- هوای داغ

متغیرها/پاسخ‌ها	هدف	حد پایین	حد بالا	درجه اهمیت
دماهی خشک کردن (درجه سانتی گراد)	داخل محدوده	۵۰	۷۰	۳
زمان خشک کردن (دقیقه)	داخل محدوده	۲۴۰	۳۶۰	۳
میزان رطوبت نهایی (%)	حداقل	۱۲/۱۵	۵۳/۱۲	۳
نسبت آبگیری مجدد (g/g)	حداکثر	۱/۳۴	۱/۷۸	۳
چروکیدگی (%)	حداقل	۶۰/۰۹	۸۸/۰۱	۳

## جدول ۶ نتایج به دست آمده برای بهینه سازی خشک کردن اسمز- هوای داغ

متغیر مستقل	پاسخ	مقدار	مقدار	مقدار
دماهی خشک کردن (درجه سانتی گراد)	میزان رطوبت نهایی (%)	۶۰/۳۹	۳۶۰	۲۶/۱۷
زمان خشک کردن (دقیقه)	نسبت آبگیری مجدد (g/g)	۱/۶۲	۷۷/۳۱	۱/۶۲
	چروکیدگی (%)			

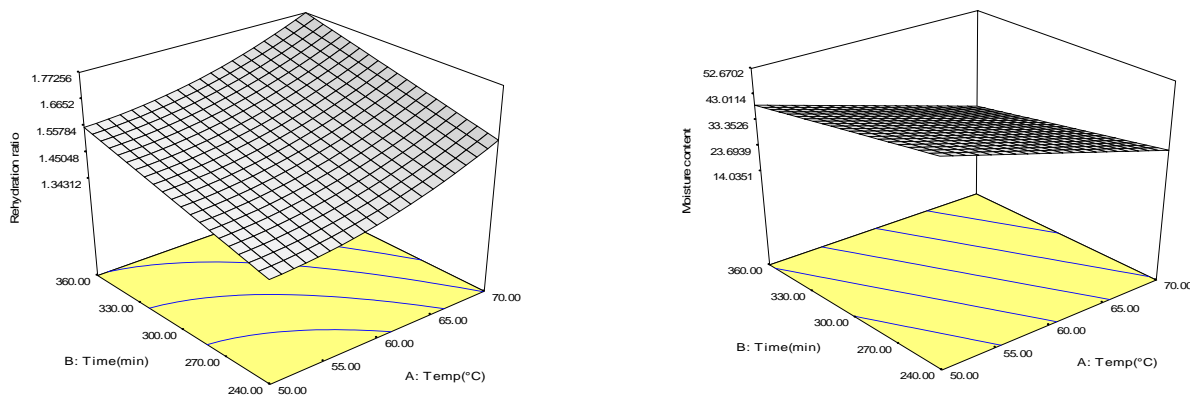
هوای داغ، آزمون صحت انجام گردید. نزدیک بودن مقادیر به دست آمده از آزمایش‌ها و مقادیر پیش‌بینی شده توسط مدل‌ها (جدول ۷)، مناسب بودن مدل در پیش‌بینی هر یک از پاسخ‌ها را نشان می‌دهد.

## ۳-۳- آزمون صحت مدل

جهت بررسی کفایت مدل‌های به دست آمده برای پیش‌بینی هر یک از پاسخ‌ها در شرایط بهینه خشک کردن اسمز-

## جدول ۷ مقادیر پیش‌بینی شده و واقعی پاسخ‌ها در شرایط بهینه خشک کردن اسمز- هوای داغ

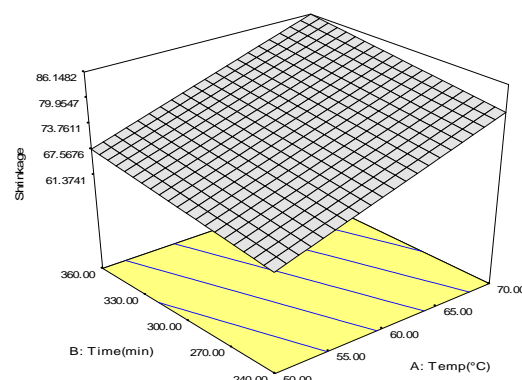
پاسخ	مقدار پیش‌بینی شده (مدل)	مقدار پیش‌بینی شده (آزمایش)	مقدار واقعی (آزمایش)
رطوبت نهایی (%)	۲۶/۱۷	۲۲/۳۵±۲/۶۳	۱/۵۲±۰/۰۶
نسبت آبگیری مجدد (g/g)	۱/۶۲	۷۶/۰۹±۲/۱۳	۷۶/۰۹±۲/۱۳
چروکیدگی (%)	۷۷/۳۱		



شکل ۲ نمودار سطحی اثر متقابل دما- زمان بر نسبت آبگیری مجدد

شکل ۱ نمودار سطحی اثر متقابل دما- زمان بر میزان رطوبت نهایی

- osmotic dehydration. *Journal of Food Engineering*, 56(1): 97-103.
- [2] FAO. *Statistical Database*. Available: <http://www.fao.org> 2012; Available from: <http://faostat3.fao.org/faostat-gateway/go/to/download/Q/QC/E>.
- [3] Fumagalli, F. & A.M. Silveira. 2005. Quality evaluation of microwave-dried Packham's triumph pear. *Drying Technology*, 23(9-11): 2215-2226.
- [4] Torringa, E., E. Esveld, I. Scheewe, R. van den Berg & P. Bartels. 2001. Osmotic dehydration as a pre-treatment before combined microwave-hot-air drying of mushrooms. *Journal of food engineering*, 49 (2): 185-191.
- [5] González-Martínez, C., M. Cháfer, K. Xue & A. Chiralt. 2006. Effect of the osmotic pre-treatment on the convective air drying kinetics of pear var. Blanquilla. *International journal of food properties*, 9(3): 541-549.
- [6] Ozdemir, M., B.F. Ozen, L.L. Dock & J.D. Floros. 2008. Optimization of osmotic dehydration of diced green peppers by response surface methodology. *LWT-Food Science and Technology*, 41(10): 2044-2050.
- [7] Noshad, M., M. Mohebbi, F. Shahidi & S.A. Mortazavi. 2012. Multi-objective optimization of osmotic-ultrasonic pretreatments and hot-air drying of quince using response surface methodology. *Food and Bioprocess Technology*, 5(6): 2098-2110.
- [8] Deng, Y. & Y. Zhao. 2008. Effect of pulsed vacuum and ultrasound osmopretreatments on glass transition temperature, texture, microstructure and calcium penetration of dried apples (Fuji). *LWT-Food Science and Technology*, 41(9): 1575-1585.
- [9] Chauhan, A. & A. Srivastava. 2009. Optimizing drying conditions for vacuum-assisted microwave drying of green peas (*Pisum sativum L.*). *Drying Technology*, 27(6): 761-769.
- [10] Erbay, Z. & F. Icier. 2009. Optimization of hot air drying of olive leaves using response surface methodology. *Journal of food engineering*, 91(4): 533-541.
- [11] Corzo, O., N. Bracho, A. Vásquez & A. Pereira. 2008. Optimization of a thin layer drying process for coroba slices. *Journal of food engineering*, 85(3): 372-380.
- [12] Vega-Gálvez, A., R. Lemus-Mondaca, C. Bilbao-Sáinz, P. Fito & A. Andrés. 2008. Effect of air drying temperature on the quality of rehydrated dried red bell pepper (var. Lamuyo). *Journal of food engineering*, 85(1): 42-50.



شکل ۳ نمودار سطحی اثر متقابل دما- زمان بر میزان چروکیدگی

#### ۴- نتیجه گیری کلی

با توجه به نتایج به دست آمده از این تحقیق مشخص شد که تمام مدل‌های رگرسیونی به دست آمده برای تمام پاسخ‌ها از نظر آماری در سطح ۹۹٪ اطمینان معنی دار هستند. با افزایش دما و زمان خشک کردن میزان رطوبت کاهش و نسبت آبگیری مجدد و درصد چروکیدگی افزایش می‌یابند. خشک کردن اسمز-هوای داغ برش‌های گلابی تحت شرایط بهینه دمای ۶۰/۳۹ درجه سانتی‌گراد و زمان خشک کردن ۳۶۰ دقیقه منجر به تولید محصولی با میزان رطوبت ۲۶/۱۷٪، نسبت آبگیری مجدد و درصد چروکیدگی ۸۴٪ شد.

نتایج این تحقیق نشان داد که روش سطح پاسخ روشی کارامد برای بهینه سازی خشک کردن اسمز-هوای داغ گلابی در محدوده دمای ۵۰-۷۰ درجه سانتی‌گراد، و زمان خشک کردن ۲۴۰-۳۶۰ دقیقه بود.

#### ۵- سپاسگزاری

از حمایتها و زحمات بی شائبه خانم مهندس سلمانی زاده و آقایان مهندس احتیاطی، نوشاد، کمالی و هاشمی که در تمامی مراحل انجام و به ثمر رسیدن این پژوهش همراه و راهنمای اینجانب بودند کمال سپاس را دارم.

#### ۶- منابع

- [1] Park, K.J., A. Binand F. Pedro Reis Brod. 2003. Drying of pear d'Anjou with and without

## **Optimization of osmosis-hot air drying of pear using Response Surface Methodology**

**Amiripour, M.<sup>1\*</sup>, Habibi-Najafi, M. B.<sup>2</sup>, Mohebbi, M.<sup>3</sup>, Emadi, B.<sup>3</sup>**

1. M. Sc. of Food Science and Technology, Department of Food Science and Technology Faculty of Agriculture, Ferdowsi University of Mashhad
2. Professor, Department of Food Science and Technology, Faculty of Agriculture, Ferdowsi University of Mashhad
3. Associate Professor, Department of Biosystems Engineering, Faculty of Agriculture, Ferdowsi University of Mashhad

**(Received: 93/3/31 Accepted: 93/8/24)**

In this study, Response Surface Methodology (RSM) was used for optimization of the conditions for hot air drying of pear slices with osmosis pretreatment. The effects of two parameters including drying temperature (50-70 °C) and drying time (240-360 minutes) as independent variables on moisture content, shrinkage percentage and rehydration ratio of pear slices as dependent variables (responses) were evaluated. The regression models for all responses were statistically significant at the 99% confidence level and lack of fit was not significant. All process variables had linear effect on all the responses ( $p < 0.01$ ). Also the quadratic term of drying temperature on rehydration ratio was significant. The optimum conditions obtained for minimum moisture content and shrinkage percentage and maximum rehydration ratio were: 39.60 °C as drying temperature and the drying time of 360 minutes. In optimized condition, the moisture content, rehydration ratio and shrinkage percentage of dried pear slices were 26.17%, 1.62 and 77.31 respectively.

**Keywords:** Hot Air; Optimization; Osmosis; Pear Slices; Response Surface Methodology

---

\* Corresponding Author E-Mail Address: mo.am62@gmail.com